

# Processamento de Imagens

## Introdução

Mylène Christine Queiroz de Farias

Departamento de Engenharia Elétrica  
Universidade de Brasília (UnB)  
Brasília, DF 70910-900

[mylene@unb.br](mailto:mylene@unb.br)

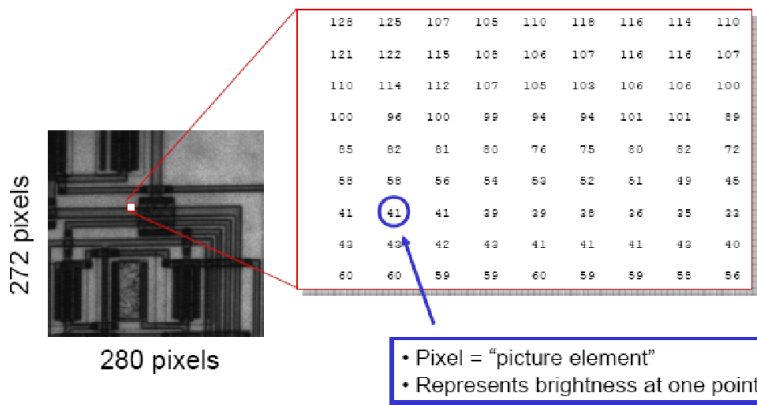
15 de Março de 2016

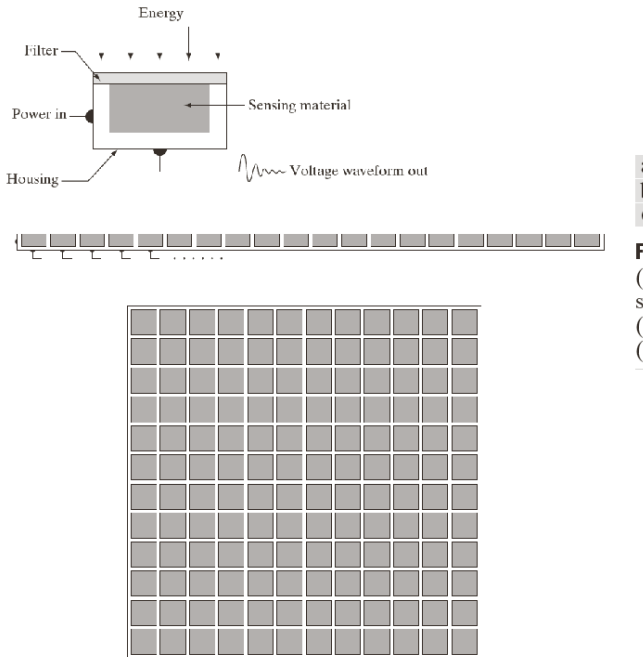
Aula 02: Processamento de Imagens no Domínio Espacial  
Parte 1 - Transformações



## Sumário:

## Imagen Digital

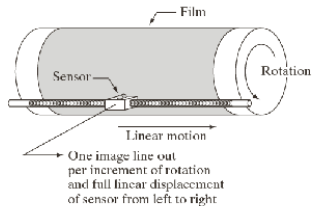




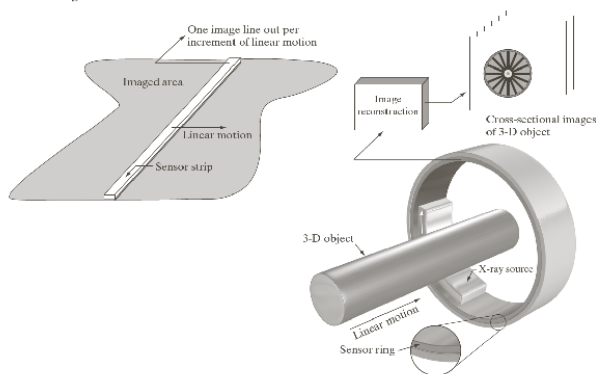
a  
b  
c

**FIGURE 2.12**  
(a) Single imaging sensor.  
(b) Line sensor.  
(c) Array sensor.

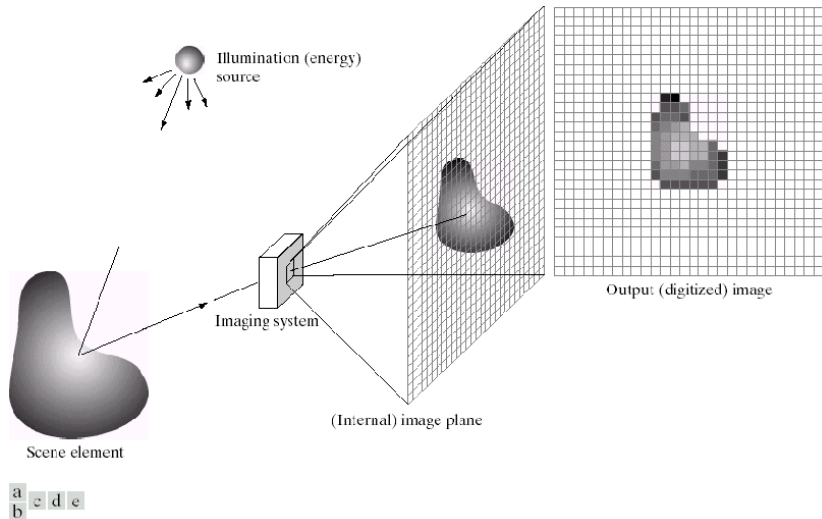
# Imagens Digitais



**FIGURE 2.13**  
Combining a single sensor with motion to generate a 2-D image.

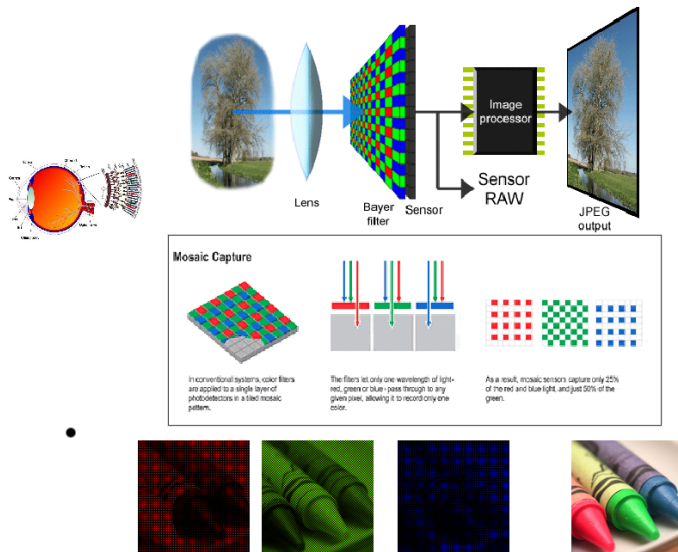


a b



**FIGURE 2.15** An example of the digital image acquisition process. (a) Energy (“illumination”) source. (b) An element of a scene. (c) Imaging system. (d) Projection of the scene onto the image plane. (e) Digitized image.

## Mosaicos



# Imagens Digitais

The diagram illustrates the difference between the Foveon X3 direct image sensor and a traditional CCD/CMOS sensor. The Foveon sensor features three stacked layers of photodiodes, allowing it to capture all three primary colors (red, green, and blue) at every pixel location. In contrast, a traditional sensor has a Bayer filter where each pixel can only capture one color, with the other two colors being absorbed by the silicon. Below the diagrams are four images of crayons: a red one, a green one, a blue one, and a full-color composite image.

Foveon X3®  
direct image sensor

Traditional  
CCD/CMOS sensor

X3  
FOVEON  
DIRECT IMAGE SENSOR

One Pixel Location

Three Pixels

One Pixel Location

One Pixel

CCD/CMOS

Foveon® X3™ Capture

A Foveon® X3™ image sensor features three separate layers of photodiodes embedded in silicon.

Since silicon absorbs different colors of light at different depths, each layer captures a different color. Stacked together, they create full-color pixels.

As a result, only Foveon X3 image sensors capture red, green and blue light at every pixel location.

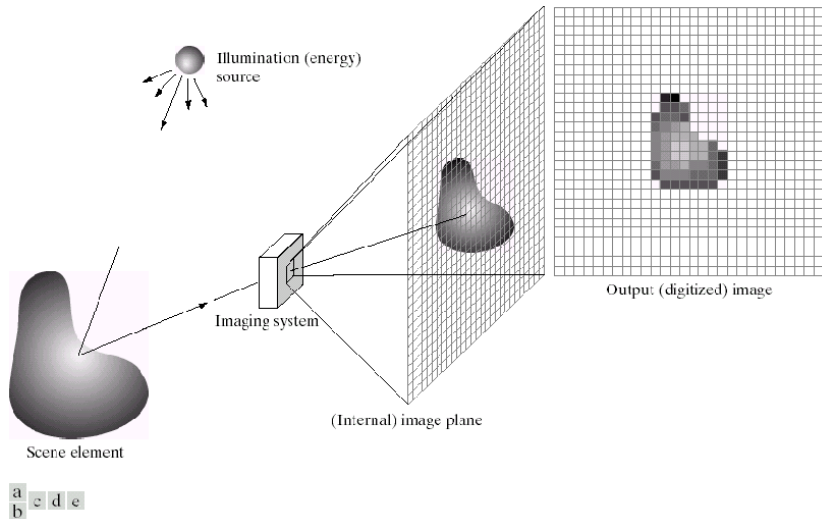
X3

## Quality Benefits of Foveon X3™

Mosaic Filter



 FOVEON



**FIGURE 2.15** An example of the digital image acquisition process. (a) Energy (“illumination”) source. (b) An element of a scene. (c) Imaging system. (d) Projection of the scene onto the image plane. (e) Digitized image.

- Modelos de Imagens:
  - $f(x, y)$
  - $f$  é a intensidade,  $(x, y)$  coordenadas espaciais
  - iluminação x componente refletida

## Luz no objeto

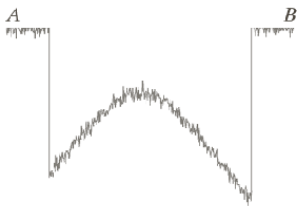
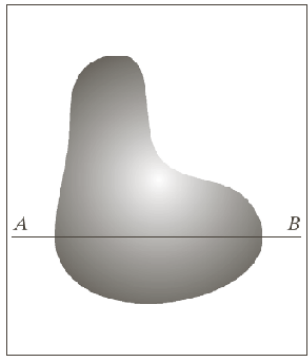
$$f(x, y) = i(x, y) \cdot r(x, y)$$

$$0 \leq i(x, y) < \infty, 0 \leq r(x, y) \leq 1$$

$$L_{min} \leq I \leq L_{max}$$

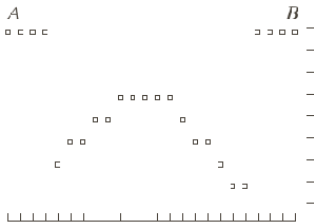
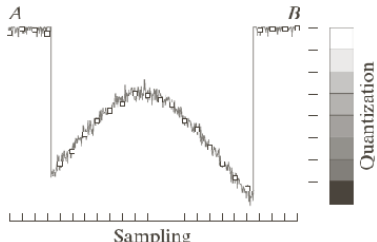
$$L_{min} = i_{min} \cdot r_{min}$$

$$L_{max} = i_{max} \cdot r_{max}$$



a  
b  
c  
d

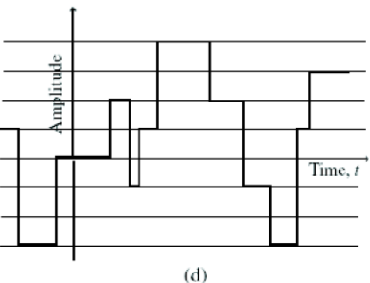
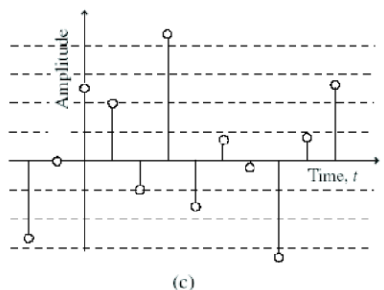
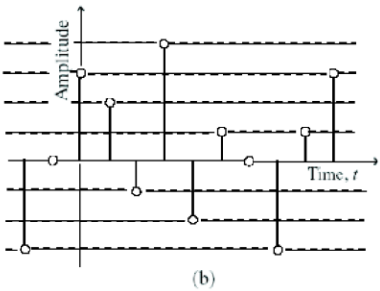
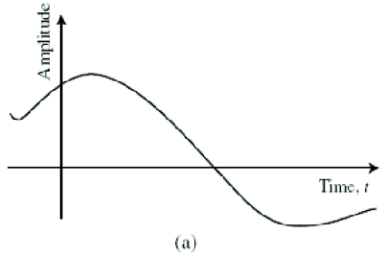
**FIGURE 2.16**  
Generating a digital image.  
(a) Continuous image.  
(b) A scan line from *A* to *B* in the continuous image, used to illustrate the concepts of sampling and quantization.  
(c) Sampling and quantization.  
(d) Digital scan line.

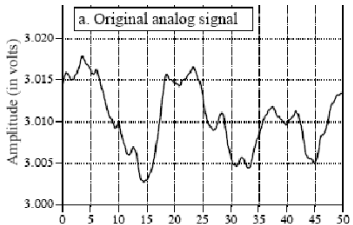


## Sinais Digitais e Sinais Contínuos

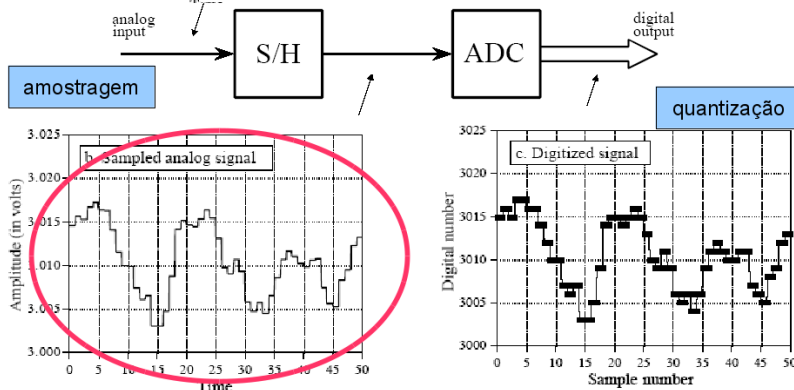
- Sinal contínuo ou analógico
  - Valores de amplitude reais ou complexos
  - Definido para todos os instantes de tempo
- Sinal discreto
  - Valores de amplitude discretos (inteiros)
  - Definido apenas para valores de tempo discretos

$$x = x[n], \quad -\infty < n < \infty$$





## Processo de Digitalização



## Amostragem e Quantização

- Resolução Espacial (amostragem)
  - Determina o menor detalhe percebido em uma imagem
- Resolução em Níveis de Cinza/Cores (quantização)
  - A menor mudança no valor do nível de cinza que pode ser discernido.

# Resolução Espacial



1024



512



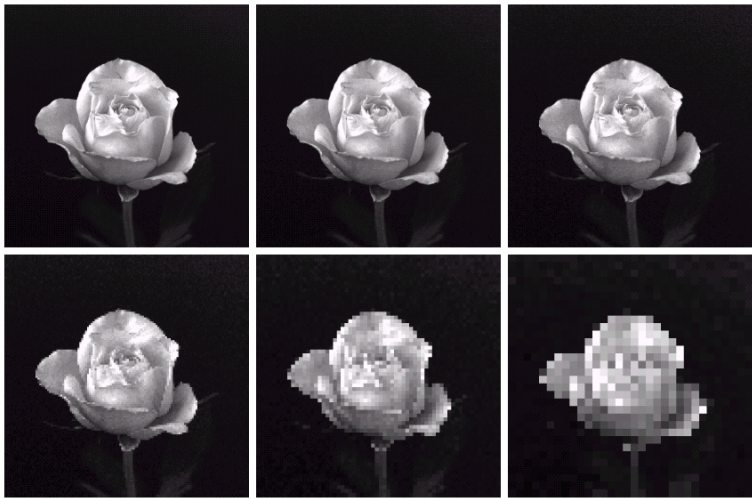
256



32

**FIGURE 2.19** A  $1024 \times 1024$ , 8-bit image subsampled down to size  $32 \times 32$  pixels. The number of allowable gray levels was kept at 256.

# Resolução Espacial



**FIGURE 2.20** (a)  $1024 \times 1024$ , 8-bit image. (b)  $512 \times 512$  image resampled into  $1024 \times 1024$  pixels by row and column duplication. (c) through (f)  $256 \times 256$ ,  $128 \times 128$ ,  $64 \times 64$ , and  $32 \times 32$  images resampled into  $1024 \times 1024$  pixels.



a  
b  
c  
d

**FIGURE 2.21**

(a)  $452 \times 374$ ,  
256-level image.  
(b)-(d) Image  
displayed in 128,  
64, and 32 gray  
levels, while  
keeping the  
spatial resolution  
constant.

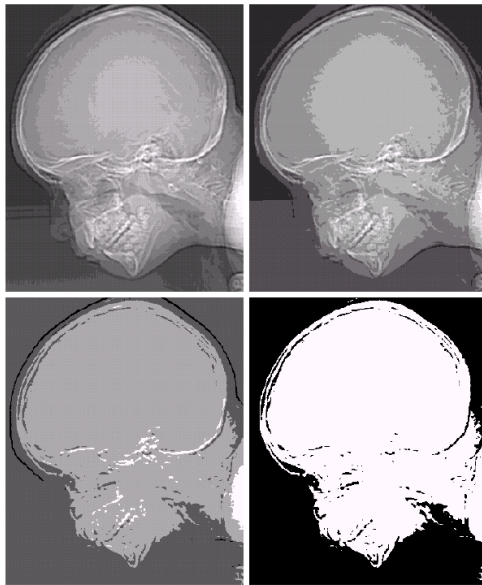


## Resolução de Intensidade/Cor

$$L = 2^k$$

c f  
g h

**FIGURE 2.21**  
*(Continued)*  
(e)–(h) Image displayed in 16, 8, 4, and 2 gray levels. (Original courtesy of Dr. David R. Pickens, Department of Radiology & Radiological Sciences, Vanderbilt University Medical Center.)



Resolução de Intensidade/Cor

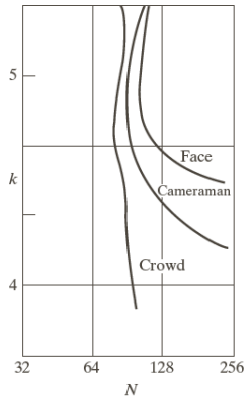
## Relação N x k



a | b | c

**FIGURE 2.22** (a) Image with a low level of detail. (b) Image with a medium level of detail. (c) Image with a relatively large amount of detail. (Image (b) courtesy of the Massachusetts Institute of Technology.)

**FIGURE 2.23**  
Typical  
isopreference  
curves for the  
three types of  
images in  
Fig. 2.22.



Quanto mais detalhes, menos  
importa o número de níveis.

- A interpolação ou reamostragem de imagens é amplamente utilizada em processamento de imagens e vídeos;
- Utilizada para ampliar, reduzir, e rotacionar imagens;
- Ou para criar efeitos como “morphing/warping”, corrigir distorção da lente, fazer interpolação de cores em dispositivos para aquisição de imagens.

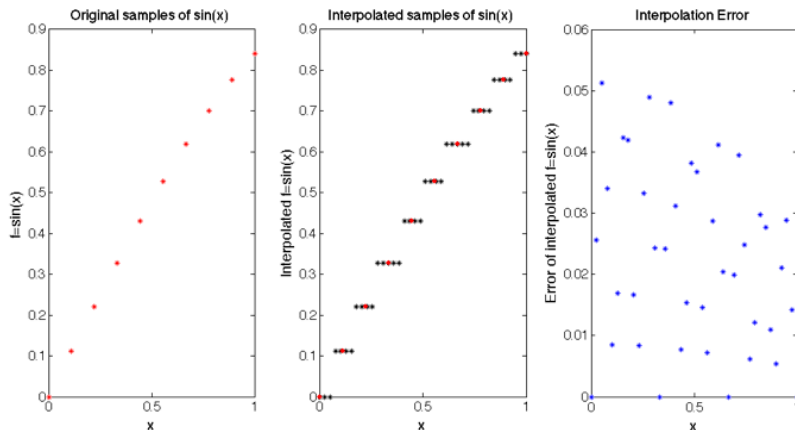
- A interpolação ou reamostragem de imagens é amplamente utilizada em processamento de imagens e vídeos;
- Utilizada para ampliar, reduzir, e rotacionar imagens;
- Ou para criar efeitos como “morphing/warping”, corrigir distorção da lente, fazer interpolação de cores em dispositivos para aquisição de imagens.
- Ou ainda para registrar imagens (criar uma única imagem unindo duas ou mais imagens), estabilizar tremor da câmera, corrigir a movimentação do paciente, normalizar imagens médicas que envolvem vários sujeitos, etc.

Em processamento de imagens ...

- Interpolação é processo em que valores conhecidos são usados para estimar valores desconhecidos.

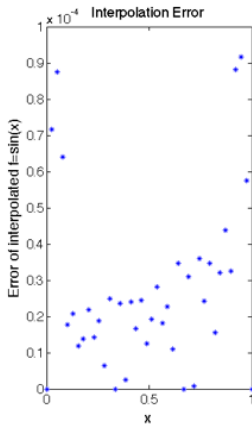
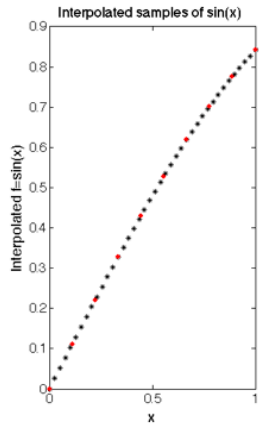
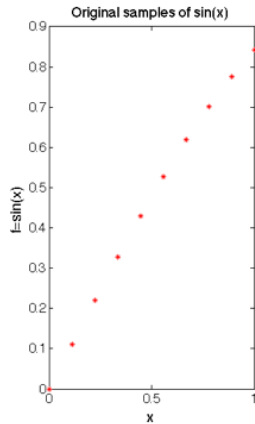
# Interpolação 1-D

- Vizinho mais próximo



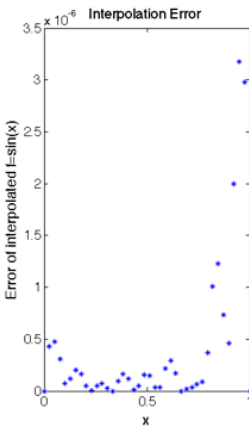
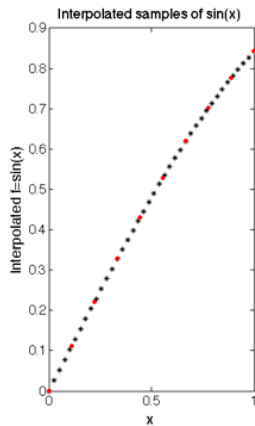
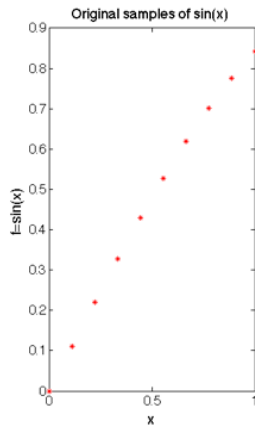
# Interpolação 1-D

- Vizinho mais próximo
- Linear:  $v(x, y) = a \cdot x + b \cdot y + c \cdot x \cdot y + d$



# Interpolação 1-D

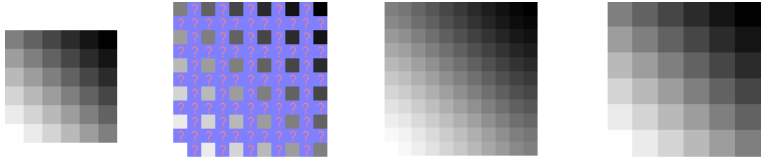
- Vizinho mais próximo
- Linear:  $v(x) = a \cdot x + b$
- Cúbica:  $v(x) = a \cdot x^3 + b \cdot x^2 + c \cdot x + d$



# Interpolação Vizinho mais Próximo 2-D

Ampliação da imagem baseada no Método do Vizinho mais Próximo (*Nearest Neighbour*):

- Atribui a cada nova posição o valor do pixel do seu vizinho mais próximo na imagem original;
- Replicação de pixels – caso especial quando a ampliação é por um fator inteiro (2, 3 , 4, etc.)

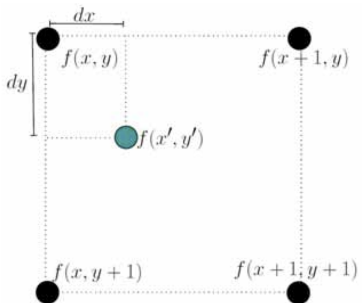


# Interpolação Vizinho mais Próximo 2-D



- Efeito de blocos;
- Processamento rápido
- Não cria novos valores (mantém estatísticas da imagem)

# Interpolação Vizinho mais Próximo 2-D



$$f(x', y') = \begin{cases} f(x, y) & \text{para } dx < 0.5 \text{ e } dy < 0.5 \\ f(x + 1, y) & \text{para } dx \geq 0.5 \text{ e } dy < 0.5 \\ f(x, y + 1) & \text{para } dx < 0.5 \text{ e } dy \geq 0.5 \\ f(x + 1, y + 1) & \text{para } dx \geq 0.5 \text{ e } dy \geq 0.5 \end{cases} \quad (1)$$

# Interpolação Vizinho mais Próximo 2-D

Método do Vizinho mais Próximo:

- Exemplo com uma imagem:

$$\begin{array}{cccc} \dots & f(i,j) & f(i,j+1) & \dots \\ \dots & f(i+1,j) & f(i+1,j+1) & \dots \end{array}$$

# Interpolação Vizinho mais Próximo 2-D

Método do Vizinho mais Próximo:

- Exemplo com uma imagem:

$$\begin{array}{ccc} \dots & f(i,j) & f(i,j+1) \\ \dots & f(i+1,j) & f(i+1,j+1) \end{array} \dots$$

- Acrescentando linhas e colunas de zeros:

$$\begin{array}{cccc} \dots & f(i,j) & 0 & f(i,j+1) \\ \dots & 0 & 0 & 0 \\ \dots & f(i+1,j) & 0 & f(i+1,j+1) \end{array} \dots$$

# Interpolação Vizinho mais Próximo 2-D

Método do Vizinho mais Próximo:

- Exemplo com uma imagem:

$$\begin{array}{ccc} \dots & f(i,j) & f(i,j+1) \\ \dots & f(i+1,j) & f(i+1,j+1) \end{array} \dots$$

- Acrescentando linhas e colunas de zeros:

$$\begin{array}{cccc} \dots & f(i,j) & 0 & f(i,j+1) \\ \dots & 0 & 0 & 0 \\ \dots & f(i+1,j) & 0 & f(i+1,j+1) \end{array} \dots$$

- Após a interpolação utilizando o MVP:

$$\begin{array}{cccc} \dots & f(i,j) & f(i,j) & f(i,j+1) \\ \dots & f(i,j) & f(i,j) & f(i,j+1) \\ \dots & f(i+1,j) & f(i+1,j) & f(i+1,j+1) \end{array} \dots$$

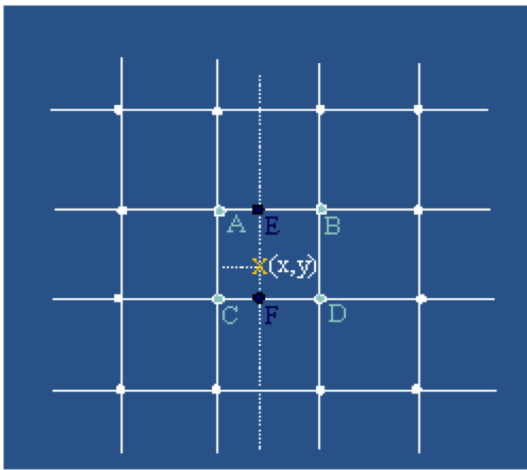


(a) Imagem original.



(b) Região da imagem ampliada.

# Interpolação Bilinear 2-D



- O valor obtido pela média ponderada dos valores dos pixels E e F são transferidos para a posição X
- Efeito de suavização devido a operação de média

# Interpolação Bilinear 2-D

Bilinear:

$$\begin{matrix} \dots & f(i,j) & f(i,j+1) & \dots \\ \dots & f(i+1,j) & f(i+1,j+1) & \dots \end{matrix}$$

# Interpolação Bilinear 2-D

Bilinear:

$$\begin{array}{ccc} \dots & f(i,j) & f(i,j+1) \\ & \dots & f(i+1,j) & f(i+1,j+1) & \dots \end{array}$$

- Acrescentando linhas e colunas de zeros:

$$\begin{array}{cccccc} \dots & f(i,j) & a & f(i,j+1) & \dots \\ \dots & b & c & d & \dots \\ \dots & f(i+1,j) & e & f(i+1,j+1) & \dots \end{array}$$

# Interpolação Bilinear 2-D

Bilinear:

$$\begin{array}{ccc} \dots & f(i,j) & f(i,j+1) \\ & f(i+1,j) & f(i+1,j+1) & \dots \end{array}$$

- Acrescentando linhas e colunas de zeros:

$$\begin{array}{ccccc} \dots & f(i,j) & a & f(i,j+1) & \dots \\ \dots & b & c & d & \dots \\ \dots & f(i+1,j) & e & f(i+1,j+1) & \dots \end{array}$$

$$a = (f(i,j) + f(i,j+1))/2$$

$$e = (f(i+1,j) + f(i+1,j+1))/2$$

$$b = (f(i,j) + f(i+1,j))/2$$

$$d = (f(i,j+1) + f(i+1,j+1))/2$$

$$c = (f(i,j) + f(i,j+1) + f(i+1,j) + f(i+1,j+1))/4$$

# Interpolação Bilinear Bilinear 2-D

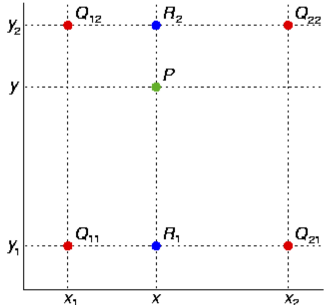
$$f(R_1) \approx \frac{x_2 - x}{x_2 - x_1} f(Q_{11}) + \frac{x - x_1}{x_2 - x_1} f(Q_{21})$$

$$f(R_2) \approx \frac{x_2 - x}{x_2 - x_1} f(Q_{12}) + \frac{x - x_1}{x_2 - x_1} f(Q_{22})$$

$$f(P) \approx \frac{y_2 - y}{y_2 - y_1} f(R_1) + \frac{y - y_1}{y_2 - y_1} f(R_2).$$

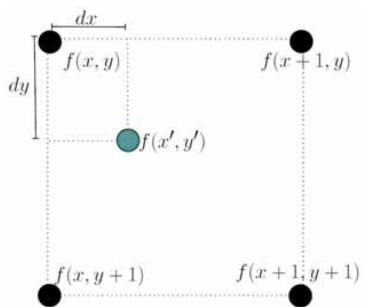


$$\begin{aligned} f(x, y) &\approx \frac{f(Q_{11})}{(x_2 - x_1)(y_2 - y_1)} (x_2 - x)(y_2 - y) + \\ &\quad \frac{f(Q_{21})}{(x_2 - x_1)(y_2 - y_1)} (x - x_1)(y_2 - y) + \\ &\quad \frac{f(Q_{12})}{(x_2 - x_1)(y_2 - y_1)} (x_2 - x)(y - y_1) + \\ &\quad \frac{f(Q_{22})}{(x_2 - x_1)(y_2 - y_1)} (x - x_1)(y - y_1) \\ &= \frac{1}{(x_2 - x_1)(y_2 - y_1)} \left( f(Q_{11})(x_2 - x)(y_2 - y) + \right. \\ &\quad \left. f(Q_{21})(x - x_1)(y_2 - y) + \right. \\ &\quad \left. f(Q_{12})(x_2 - x)(y - y_1) + \right. \\ &\quad \left. f(Q_{22})(x - x_1)(y - y_1) \right) \end{aligned}$$



# Interpolação Bilinear 2-D

$$f(x', y') = (1 - dx) \cdot (1 - dy) \cdot f(x, y) + dx \cdot (1 - dy) \cdot f(x + 1, y) + \\ (1 - dx) \cdot dy \cdot f(x, y + 1) + dx \cdot dy \cdot f(x + 1, y + 1)$$





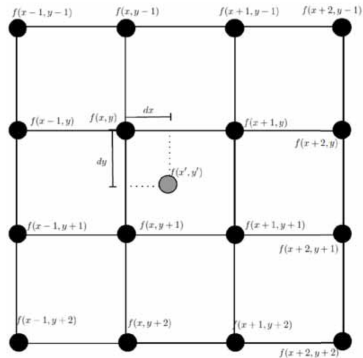
(a) Imagem original



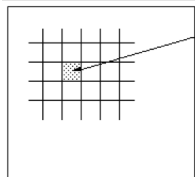
(b) Região da imagem ampliada

# Interpolação Bicúbica 2-D

- 16 vizinhos:  $p(x, y) = \sum_{i=0}^3 \sum_{j=0}^3 a_{ij} x_i y_j$
- Geralmente a interpolação bicúbica realiza um papel melhor de preservar detalhes que a interpolação bilinear.
- Interpolação bicúbica é o padrão usado em programas comerciais como Adobe Photoshop e Corel Photopaint.

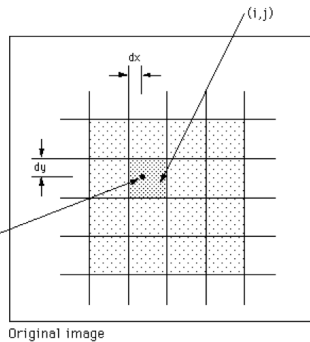


# Interpolação Bicúbica 2-D



Point to estimate  $(i', j')$

Final image



Extract transformed position of  $(i', j')$

Original image

$$F(i', j') = \sum_{m=-1}^2 \sum_{n=-1}^2 F(i + m, j + n) R(m - dx) R(dy - n)$$

$$R(x) = \frac{1}{6} [ P(x+2)^3 - 4P(x+1)^3 + 6P(x)^3 - 4P(x-1)^3 ]$$

$$P(x) = \begin{cases} x & x > 0 \\ 0 & x \leq 0 \end{cases}$$



(a) Imagem original



(b) Região da imagem ampliada

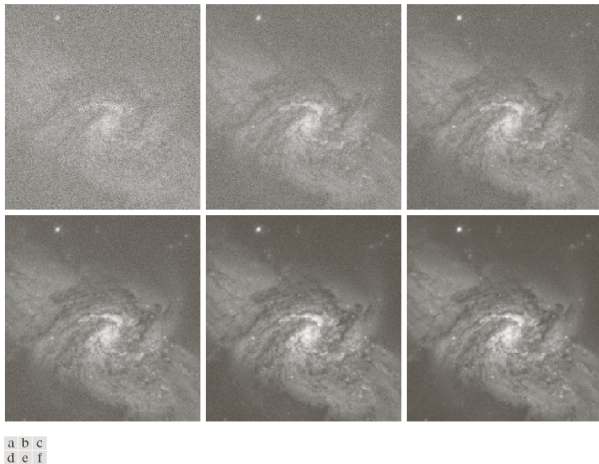


a b c  
d e f

**FIGURE 2.24** (a) Image reduced to 72 dpi and zoomed back to its original size ( $3692 \times 2812$  pixels) using nearest neighbor interpolation. This figure is the same as Fig. 2.20(d). (b) Image shrunk and zoomed using bilinear interpolation. (c) Same as (b) but using bicubic interpolation. (d)–(f) Same sequence, but shrinking down to 150 dpi instead of 72 dpi [Fig. 2.24(d) is the same as Fig. 2.20(c)]. Compare Figs. 2.24(e) and (f), especially the latter, with the original image in Fig. 2.20(a).

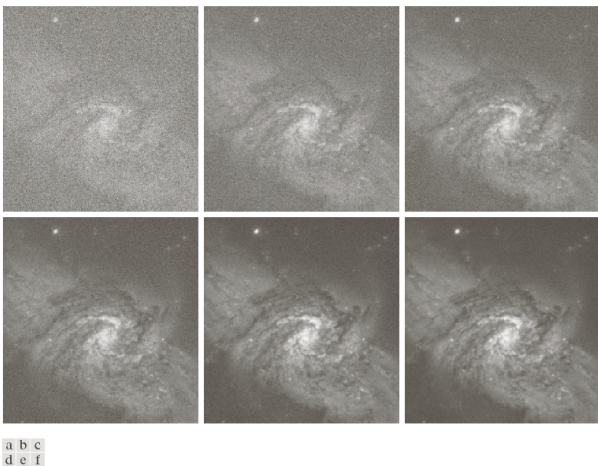
- Por elementos ou matrizes
- Lineares ou não lineares
  - homogeneidade e aditividade
- Aritméticas
  - soma, subtração, divisão, multiplicação
- Lógicas
- etc.

# Soma (média)



**FIGURE 2.26** (a) Image of Galaxy Pair NGC 3314 corrupted by additive Gaussian noise. (b)–(f) Results of averaging 5, 10, 20, 50, and 100 noisy images, respectively. (Original image courtesy of NASA.)

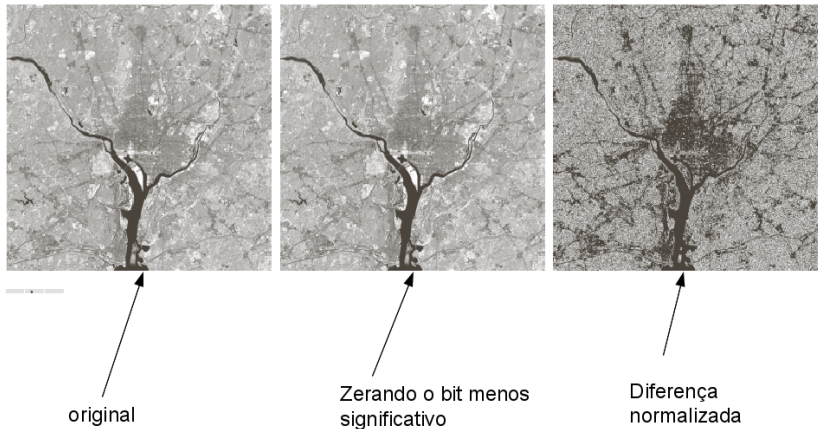
# Soma (média)



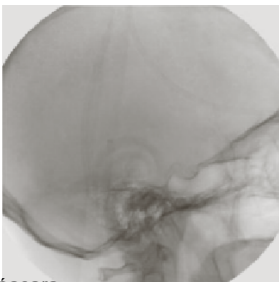
**FIGURE 2.26** (a) Image of Galaxy Pair NGC 3314 corrupted by additive Gaussian noise. (b)–(f) Results of averaging 5, 10, 20, 50, and 100 noisy images, respectively. (Original image courtesy of NASA.)

- Este procedimento funciona se o ruído presente tem média zero e é descorrelacionado.

# Diferença



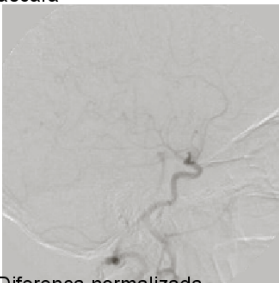
# Diferença



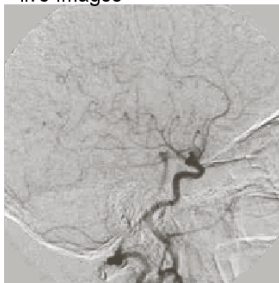
máscara



"live images"



Diferença normalizada



Diferença "melhorada"

# Correção



Original

$$g(x,y) = f(x,y)$$



$h(x,y)$

$$g'(x,y) = g(x,y)/h(x,y)$$



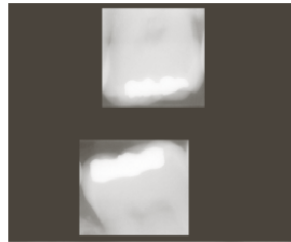
# Mascaramento – ROI



original

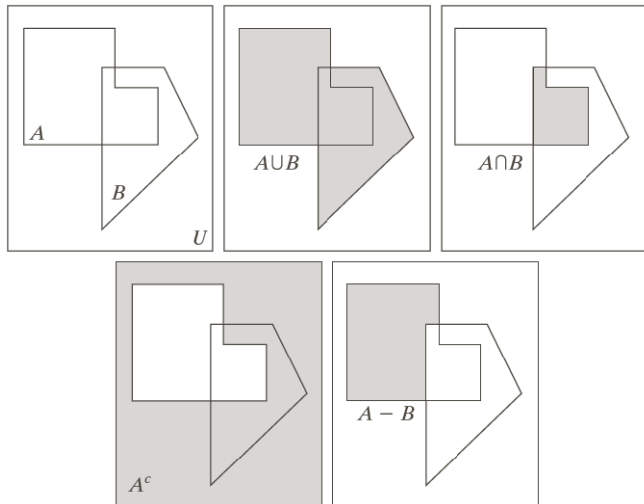


Máscaras englobando as  
Regiões de interesse



Multiplicação do original  
pela imagem com máscara

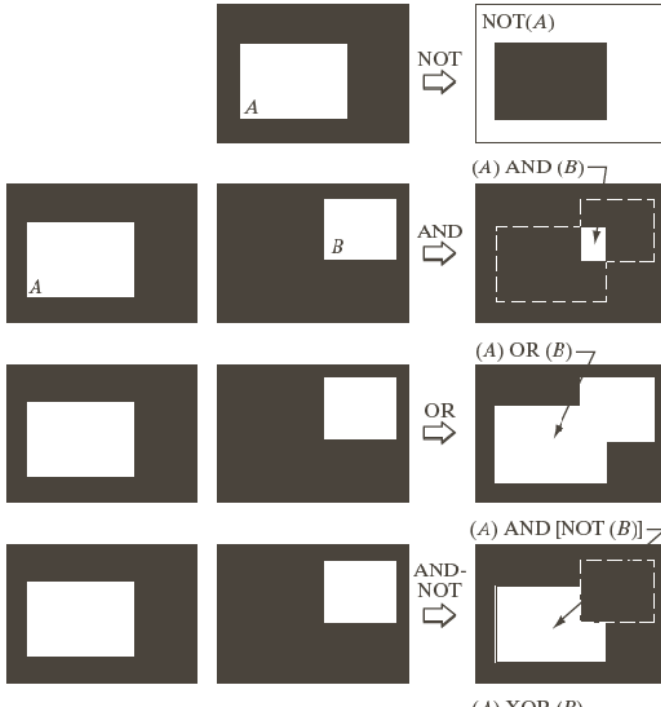
# Operações Lógicas



|   |   |   |
|---|---|---|
| a | b | c |
| d | e |   |

FIGURE 2.31

- (a) Two sets of coordinates,  $A$  and  $B$ , in 2-D space.
- (b) The union of  $A$  and  $B$ .
- (c) The intersection of  $A$  and  $B$ .
- (d) The complement of  $A$ .
- (e) The difference between  $A$  and  $B$ . In (b)–(e) the shaded areas represent the member of the set operation indicated.



**FIGURE 2.33**  
 Illustration of logical operations involving foreground (white) pixels. Black represents binary 0s and white binary 1s. The dashed lines are shown for reference only. They are not part of the result.



Original  
 $f(x,y)$



Imagen negativa  
 $255-f(x,y)$

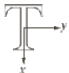


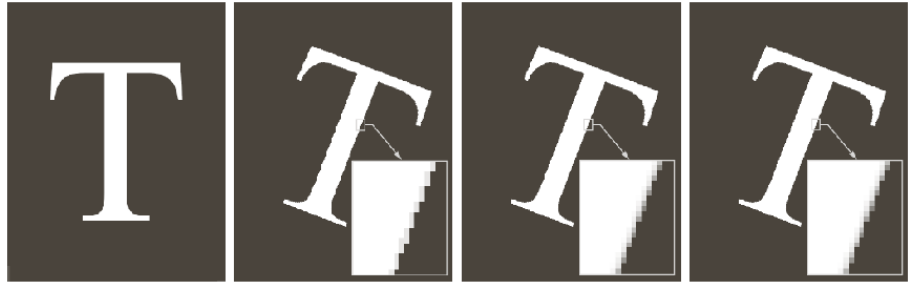
União do original com  
uma imagem constante  
 $= \{\max(a,b)\}$

# Operações Geométricas

**TABLE 2.2**

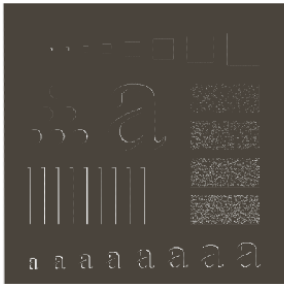
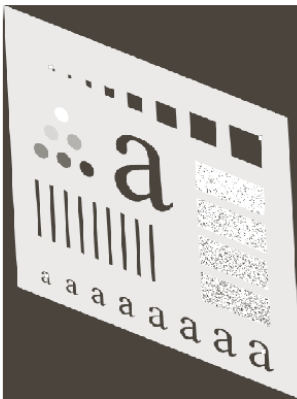
Affine transformations based on Eq. (2.6–23).

| Transformation Name | Affine Matrix, $T$   | Coordinate Equations   | Example  |
|---------------------|--|--|--|
| Identity            | $\begin{bmatrix} 1 & 0 & 0 \\ 0 & 1 & 0 \\ 0 & 0 & 1 \end{bmatrix}$  | $x = v$<br>$y = w$   |  |
| Scaling             | $\begin{bmatrix} c_x & 0 & 0 \\ 0 & c_y & 0 \\ 0 & 0 & 1 \end{bmatrix}$                                      | $x = c_x v$<br>$y = c_y w$   |  |
| Rotation            | $\begin{bmatrix} \cos \theta & \sin \theta & 0 \\ -\sin \theta & \cos \theta & 0 \\ 0 & 0 & 1 \end{bmatrix}$ | $x = v \cos \theta - w \sin \theta$<br>$y = v \cos \theta + w \sin \theta$ |  |
| Translation         | $\begin{bmatrix} 1 & 0 & 0 \\ 0 & 1 & 0 \\ t_x & t_y & 1 \end{bmatrix}$                                      | $x = v + t_x$<br>$y = w + t_y$   |  |
| Shear (vertical)    | $\begin{bmatrix} 1 & 0 & 0 \\ s_y & 1 & 0 \\ 0 & 0 & 1 \end{bmatrix}$  | $x = v$<br>$y = s_y w$   |  |
| Shear (horizontal)  | $\begin{bmatrix} 1 & s_h & 0 \\ 0 & 1 & 0 \\ 0 & 0 & 1 \end{bmatrix}$  | $x = v$<br>$y = s_h v + w$   |  |



a b c d

**FIGURE 2.36** (a) A 300 dpi image of the letter T. (b) Image rotated  $21^\circ$  clockwise using nearest neighbor interpolation to assign intensity values to the spatially transformed pixels. (c) Image rotated  $21^\circ$  using bilinear interpolation. (d) Image rotated  $21^\circ$  using bicubic interpolation. The enlarged sections show edge detail for the three interpolation approaches.



a  
b  
c  
d

**FIGURE 2.37**  
Image registration.  
(a) Reference image.  
(b) Input (geometrically distorted image). Corresponding tie points are shown as small white squares near the corners.  
(c) Registered image (note the errors in the borders).  
(d) Difference between (a) and (c), showing more registration errors.

- Um pixel  $p$  na coordenada  $(x,y)$  pode ter as seguintes vizinhanças:
  - $N_4$  (vizinhancça-4 de  $p$ ) – Inclui os quatro vizinhos horizontais e verticais de  $p$  cujas coordenadas são:
$$(x + 1, y), (x - 1, y), (x, y + 1), (x, y - 1)$$
  - $N_d$  (vizinhancça diagonal de  $p$ ) – Inclui os quatro vizinhos diagonais de  $p$  cujas coordenadas saão:
$$(x + 1, y + 1), (x + 1, y - 1), (x - 1, y + 1), (x - 1, y - 1)$$
  - $N_8$  (vizinhancça-8 de  $p$ ) – Inclui os oito vizinhos horizontais e verticais de  $p$ , que inclui o conjunto da vizinhancça-4 e da vizinhancça diagonal de  $p$ .

## Relação entre os pixels

|   |   |   |
|---|---|---|
| 0 | 1 | 1 |
| 0 | 1 | 0 |
| 0 | 0 | 1 |

|   |   |       |
|---|---|-------|
| 0 | 1 | - - 1 |
| 0 | 1 | 0     |
| 0 | 0 | 1     |

|   |   |       |
|---|---|-------|
| 0 | 1 | - - 1 |
| 0 | 1 | 0     |
| 0 | 0 | 1     |

|   |   |   |
|---|---|---|
| 1 | 1 | 1 |
| 1 | 0 | 1 |
| 0 | 1 | 0 |

$R_i$

|   |   |   |   |   |   |   |   |
|---|---|---|---|---|---|---|---|
| 0 | 0 | 1 | 1 | 1 | 0 | 0 | 0 |
| 0 | 1 | 1 | 0 | 0 | 0 | 0 | 0 |
| 0 | 1 | 1 | 1 | 0 | 0 | 0 | 0 |
| 0 | 1 | 1 | 1 | 1 | 0 | 0 | 0 |
| 1 | 1 | 1 | 1 | 1 | 0 | 0 | 0 |
| 1 | 1 | 1 | 1 | 1 | 0 | 0 | 0 |

$R_j$

|   |   |   |
|---|---|---|
| a | b | c |
| d | e | f |

|   |   |   |   |   |   |   |   |
|---|---|---|---|---|---|---|---|
| 0 | 0 | 0 | 0 | 0 | 0 | 0 | 0 |
| 0 | 1 | 1 | 0 | 0 | 0 | 0 | 0 |
| 0 | 1 | 1 | 0 | 0 | 0 | 0 | 0 |
| 0 | 1 | 1 | 1 | 0 | 0 | 0 | 0 |
| 0 | 1 | 1 | 1 | 1 | 0 | 0 | 0 |
| 0 | 0 | 0 | 0 | 0 | 0 | 0 | 0 |

**FIGURE 2.25** (a) An arrangement of pixels. (b) Pixels that are 8-adjacent (adjacency is shown by dashed lines; note the ambiguity). (c)  $m$ -adjacency. (d) Two regions that are adjacent if 8-adjacency is used. (e) The circled point is part of the boundary of the 1-valued pixels only if 8-adjacency between the region and background is used. (f) The inner boundary of the 1-valued region does not form a closed path, but its outer boundary does.

# Relação entre os pixels

- Vizinhanças:
  - $N_4, N_8, N_d$
- Adjacência

- Vizinhanças:
  - $N_4, N_8, N_d$
- Adjacência
  - Conjunto de pixels vizinhos com intensidades em um certo conjunto ( $V$ )

- Vizinhanças:
  - $N_4, N_8, N_d$
- Adjacência
  - Conjunto de pixels vizinhos com intensidades em um certo conjunto ( $V$ )
  - Adjacência-4: dois pixels  $p$  e  $q$ , com valores no conjunto  $V$ , têm adjacência-4 se  $q$  está no conjunto  $N_4(p)$ .

- Vizinhanças:
  - $N_4, N_8, N_d$
- Adjacência
  - Conjunto de pixels vizinhos com intensidades em um certo conjunto ( $V$ )
  - Adjacência-4: dois pixels  $p$  e  $q$ , com valores no conjunto  $V$ , têm adjacência-4 se  $q$  está no conjunto  $N_4(p)$ .
  - Adjacência-8: dois pixels  $p$  e  $q$ , com valores no conjunto  $V$ , têm adjacência-8 se  $q$  está no conjunto  $N_8(p)$ .

- Vizinhanças:
  - $N_4, N_8, N_d$
- Adjacência
  - Conjunto de pixels vizinhos com intensidades em um certo conjunto ( $V$ )
  - Adjacência-4: dois pixels  $p$  e  $q$ , com valores no conjunto  $V$ , têm adjacência-4 se  $q$  está no conjunto  $N_4(p)$ .
  - Adjacência-8: dois pixels  $p$  e  $q$ , com valores no conjunto  $V$ , têm adjacência-8 se  $q$  está no conjunto  $N_8(p)$ .
  - Adjacência-m (mista): dois pixels  $p$  e  $q$ , com valores no conjunto  $V$ , têm adjacência-m se:
    - $q$  está em  $N_4(p)$
    - $q$  está em  $N_d(p)$  e  $N_d(p) \cap N_4(q)$  não tem pixels com valores em  $V$

## Relação entre os pixels

|   |   |   |
|---|---|---|
| 0 | 1 | 1 |
| 0 | 1 | 0 |
| 0 | 0 | 1 |

|   |   |       |
|---|---|-------|
| 0 | 1 | - - 1 |
| 0 | 1 | 0     |
| 0 | 0 | 1     |

|   |   |       |
|---|---|-------|
| 0 | 1 | - - 1 |
| 0 | 1 | 0     |
| 0 | 0 | 1     |

|   |   |   |
|---|---|---|
| 1 | 1 | 1 |
| 1 | 0 | 1 |
| 0 | 1 | 0 |

$R_i$

|   |   |   |   |   |   |
|---|---|---|---|---|---|
| 0 | 0 | 1 | 1 | 1 | 0 |
| 0 | 1 | 1 | 1 | 0 | 0 |
| 0 | 1 | 1 | 1 | 1 | 0 |

$R_j$

|   |   |   |
|---|---|---|
| a | b | c |
| d | e | f |

|   |   |   |   |   |
|---|---|---|---|---|
| 0 | 0 | 0 | 0 | 0 |
| 0 | 1 | 1 | 0 | 0 |
| 0 | 1 | 1 | 0 | 0 |
| 0 | 1 | 1 | 1 | 0 |
| 0 | 1 | 1 | 1 | 0 |
| 0 | 0 | 0 | 0 | 0 |

**FIGURE 2.25** (a) An arrangement of pixels. (b) Pixels that are 8-adjacent (adjacency is shown by dashed lines; note the ambiguity). (c)  $m$ -adjacency. (d) Two regions that are adjacent if 8-adjacency is used. (e) The circled point is part of the boundary of the 1-valued pixels only if 8-adjacency between the region and background is used. (f) The inner boundary of the 1-valued region does not form a closed path, but its outer boundary does.

- Um caminho digital ou curva digital de um pixel  $p$  com coordenadas  $(x, y)$  a um pixel  $q$  com coordenadas  $(s, t)$  é uma sequência de pixels distintos com coordenadas:

$$(x_0, y_0), (x_1, y_1), \dots, (x_n, y_n)$$

onde  $(x_0, y_0) = (x, y)$ ,  $(x_n, y_n) = (s, t)$  e os pixels  $(x_i, y_i)$  e  $(x_{i-1}, y_{i-1})$  são adjacentes para  $i \leq n$ .

- Um caminho digital ou curva digital de um pixel  $p$  com coordenadas  $(x, y)$  a um pixel  $q$  com coordenadas  $(s, t)$  é uma sequência de pixels distintos com coordenadas:

$$(x_0, y_0), (x_1, y_1), \dots, (x_n, y_n)$$

onde  $(x_0, y_0) = (x, y)$ ,  $(x_n, y_n) = (s, t)$  e os pixels  $(x_i, y_i)$  e  $(x_{i-1}, y_{i-1})$  são adjacentes para  $i \leq n$ .

- $n$  é o comprimento do caminho
- caminho fechado:  $(x_0, y_0) = (x_n, y_n)$
- pode-se definir caminhos com adjacência 4, 8 ou  $m$ , dependendo do tipo de adjacência especificada.

## Relação entre os pixels

|   |   |   |
|---|---|---|
| 0 | 1 | 1 |
| 0 | 1 | 0 |
| 0 | 0 | 1 |

|   |   |       |
|---|---|-------|
| 0 | 1 | - - 1 |
| 0 | 1 | 0     |
| 0 | 0 | 1     |

|   |   |       |
|---|---|-------|
| 0 | 1 | - - 1 |
| 0 | 1 | 0     |
| 0 | 0 | 1     |

|   |   |   |
|---|---|---|
| 1 | 1 | 1 |
| 1 | 0 | 1 |
| 0 | 1 | 0 |

$R_i$

|   |   |   |   |   |   |   |   |
|---|---|---|---|---|---|---|---|
| 0 | 0 | 1 | 1 | 1 | 0 | 0 | 0 |
| 0 | 1 | 1 | 0 | 0 | 0 | 0 | 0 |
| 0 | 1 | 1 | 1 | 0 | 0 | 0 | 0 |
| 0 | 1 | 1 | 1 | 1 | 0 | 0 | 0 |
| 1 | 1 | 1 | 1 | 1 | 0 | 0 | 0 |
| 1 | 1 | 1 | 1 | 1 | 0 | 0 | 0 |

$R_j$

|   |   |   |
|---|---|---|
| a | b | c |
| d | e | f |

|   |   |   |   |   |   |   |   |
|---|---|---|---|---|---|---|---|
| 0 | 0 | 0 | 0 | 0 | 0 | 0 | 0 |
| 0 | 1 | 1 | 0 | 0 | 0 | 0 | 0 |
| 0 | 1 | 1 | 0 | 0 | 0 | 0 | 0 |
| 0 | 1 | 1 | 1 | 0 | 0 | 0 | 0 |
| 0 | 1 | 1 | 1 | 1 | 0 | 0 | 0 |
| 0 | 0 | 0 | 0 | 0 | 0 | 0 | 0 |

**FIGURE 2.25** (a) An arrangement of pixels. (b) Pixels that are 8-adjacent (adjacency is shown by dashed lines; note the ambiguity). (c)  $m$ -adjacency. (d) Two regions that are adjacent if 8-adjacency is used. (e) The circled point is part of the boundary of the 1-valued pixels only if 8-adjacency between the region and background is used. (f) The inner boundary of the 1-valued region does not form a closed path, but its outer boundary does.

- Conectividade: Seja  $S$  um subconjunto de pixels:
  - $p$  e  $q$  são um conjunto conectado se existe um caminho entre  $p$  e  $q$ , consistindo de pixels em  $S$ ;
  - se  $p$  possui apenas um componente conectado, o conjunto  $S$  é conectado;
  - Para qualquer pixel  $p$  em  $S$ , o conjunto de pixels que são conectados a ele em  $S$  é chamado de componente conexo de  $S$ .
  - Chamamos  $R$  de uma região da imagem se  $R$  é um conjunto conectado.
  - Duas regiões  $R_i$  e  $R_j$  são adjacentes se a sua união forma um conjunto conectado. Regiões que não são adjacentes são ditos disjuntos.
  - Quando se refere a regiões, existem adjacências-4, -8.

- Background vs. foreground
- Borda ou contorno
  - Borda interna – Conjunto de pontos que são adjacentes aos pontos do complemento de R (têm pelo menos um vizinho no background)
  - Borda externa
- Medidas de Distâncias  $D$

# Distâncias

- Considerando  $p(x, y)$ ,  $q(s, t)$ , e  $z(v, w)$ ,  $D$  é uma medida de distância:

$$D(p, q) \geq 0$$

$$D(p, q) = D(q, p)$$

$$D(p, z) \leq D(p, q) + D(q, z)$$

- $D_4$  (city block)

$$D_4(p, q) = |x - s| + |y - t|$$

$$\begin{matrix} & & & 2 \\ & 2 & 1 & 2 \\ 2 & 1 & 0 & 1 & 2 \end{matrix}$$

- Distância Euclidiana:

$$D_e(p, q) = \left[ (x - s)^2 + (y - t)^2 \right]^{1/2}$$

$D_4$  distance  $\leq 2$  from  $(x, y)$

# Distâncias

- $D_8$  (distância tabuleiro de xadrez):

$$D_8(p, q) = \max(|x - s|, |y - t|)$$

- $D_m$  (menor caminho  $m$  entre os pontos)

- $p = p_2 = p_4 = 1$
- Se  $p_1 = p_3 = 0$ , então  
 $D_m(p, p_4) = 2$
- E se  $p_1 = 1$ ?  $D_m(p, p_4) = 3$

|   |   |   |   |   |
|---|---|---|---|---|
| 2 | 2 | 2 | 2 | 2 |
| 2 | 1 | 1 | 1 | 2 |
| 2 | 1 | 0 | 1 | 2 |
| 2 | 1 | 1 | 1 | 2 |
| 2 | 2 | 2 | 2 | 2 |

$D_8$  distance  $\leq 2$   
from  $(x, y)$

$p_3 \quad p_4$   
 $p_1 \quad p_2$   
 $p$